

دانشگاه بین المللی امام خمینی (ره)

دانشکده فنی و مهندسی

گروه عمران

عنوان :

**تعیین چسبندگی بتن خود متراکم بر بستر های مختلف
بتنی با استفاده از روش پیچش و انتقال اصطکاک**

استاد راهنما:

جناب آقای دکتر محمود نادری

نگارش :

اویس قدوسیان

پایان نامه جهت دریافت درجه کارشناسی ارشد

در رشته مهندسی عمران گرایش سازه

تیر ۱۳۸۹

فهرست مطالب

فصل اول: پیشگفتار	۱
فصل دوم: بتن خود متراکم	
۱-۱-۱- مقدمه	۲
۱-۲-۲- ویژگی های جریانی بتن خود متراکم، مصالح مورد استفاده	۲
۱-۲-۳- تأثیر هر مصالح روی ویژگی های جریانی	۶
۱-۲-۴- مقدمه	۶
۱-۲-۵- اندازه گیری ویژگی های جریانی	۷
۱-۲-۶- ترکیب مدل ماده-SCC	۸
۱-۲-۷- ترکیب مصالح و ویژگی های جریانی	۱۱
۱-۲-۸- مقدار سنگدانه	۱۱
۱-۲-۹- شکل سنگدانه	۱۳
۱-۲-۱۰- منحنی دانه بندی ریزدانه	۱۲
۱-۲-۱۱- نسبت آب به سیمان	۱۴
۱-۲-۱۲- خاکستر بادی	۱۵
۱-۲-۱۳- دوده سیلیس	۱۵
۱-۲-۱۴- فوق روان کننده	۱۶
۱-۲-۱۵- مواد اصلاح کننده ویسکوزیته	۱۶
۱-۲-۱۶- هوای محبوس	۱۷
۱-۲-۱۷- تنظیم رئولوژی طرح اختلاط بتن	۱۹
۱-۲-۱۸- اجرای بتن خود متراکم، نحوه بتن ریزی و انتخاب ویژگی های جریانی	۲۰
۱-۲-۱۹- متناسب با کاربرد مورد نظر	۲۰
۱-۲-۲۰- مقدمه	۲۰
۱-۲-۲۱- SCC در مقایسه با بتن سنتی	۲۰
۱-۲-۲۲- قالب	۲۰
۱-۲-۲۳- پر کردن قالب	۲۳
۱-۲-۲۴- جدا شدگی و پایداری	۲۸

۳۰	۶-۳-۲- سد شدگی
۳۲	۷-۳-۲- تراز سازی سطح
۳۴	۸-۳-۲- حفاظت سطوح بتی در مقابل تبخیر
۴۰	۹-۳-۲- کنترل کیفیت در محل پروژه
۴۰	۱۰-۳-۲- کاربردهای افقی
۴۰	۱۰-۳-۲-۱- انتخاب ویژگی های جریانی
۴۴	۱۰-۳-۲-۲- توجهات ضروری
۴۸	۱۱-۳-۲- کاربردهای قائم
۴۸	۱۱-۳-۲-۱- سه نوع بتن ریزی دیوار
۵۰	۱۱-۳-۲-۲- انتخاب ویژگی های جریانی
۵۸	۴-۲- نمونه هایی از پروژه های اجرایی بتن خود متراکم
۵۸	۴-۴-۲- ۱- پل معلق A;ashi-Kaikyo در ژاپن
۵۸	۴-۴-۲-۲- منبع گاز LNG در اوزاکای ژاپن
۵۹	۴-۴-۲-۳- بازار بزرگ Midsunine واقع در لندن
۵۹	۴-۴-۲-۴- برج Eureka در ملبورن استرالیا
۶۰	۴-۴-۲-۵- پل Ritto در ژاپن
۶۱	۳۴۶-۲- ساختمان Comcast Center در فیلادلفیا آمریکا
۶۱	۷-۴-۲- کتابخانه جدید دانشگاه Guadalajara در مکزیک
۶۲	۸-۴-۲- برج Mori در شانگهای چین
۶۳	۶-۲- نمونه هایی از پروژه های اجرایی تعمیری بتن خود متراکم
۶۳	۶-۵-۲-۱- پل Rainbow
۶۶	۶-۵-۲-۲- پل Mto Madawaska

فصل سوم: آزمایش های بتن خود متراکم

۶۹	۱-۳-۱- مقدمه
۶۹	۲-۳-۲- روش های آزمایش ویژگی های تازه بتن خود متراکم و تفسیر نتایج به دست آمده
۷۰	۲-۳-۱- آزمایش جریان اسلامپ و جریان اسلامپ ۵۰ سانتی متر
۷۲	۲-۲-۳- آزمایش حلقه J
۷۴	۲-۳-۳- آزمایش قیف V شکل و زمان ۵ دقیقه

۷۷.....	آزمایش جعبه L شکل.....	۴-۲-۳
۷۸.....	آزمایش جعبه U شکل.....	۵-۲-۳
۸۰	آزمایش اوریمت	۶-۲-۳
۸۲.....	GTM.....	۷-۲-۳

فصل چهارم: تعمیرات سازه های بتنی

۸۵.....	۱-۱- مقدمه	۴
۸۵.....	۲-۲- انتخاب مصالح	۴
۸۶.....	۳-۳- معیارهای انتخاب مواد	۴
۸۷.....	۴-۳-۱- پایداری ابعادی	۴
۸۷.....	۴-۲-۳- ضریب انبساط حرارتی	۴
۸۷.....	۴-۳-۳- مدول الاستیسیته	۴
۸۸.....	۴-۳-۴- نفوذ پذیری	۴
۸۸.....	۴-۵- سازگاری شیمیایی	۴
۸۸.....	۴-۶- ویژگی های الکتریکی	۴
۸۸.....	۴-۷- اعمال شرایط بهره برداری	۴
۸۹.....	۴-۴- مصالح وصله کاری	۴
۸۹.....	۴-۱-۴- مصالح سیمانی	۴
۹۰.....	۴-۲-۴- بتن و ملات پلیمری	۴
۹۰.....	۴-۳-۴- ترکیبات با گیرش سریع	۴
۹۰.....	۴-۴-۴- مواد قیری	۴
۹۰.....	۴-۵-۴- دوغاب ها	۴
۹۱.....	۴-۶-۴- مواد چسباننده	۴
۹۱.....	۴-۵- روش های انجام تعمیرات	۴
۹۲.....	۴-۱-۵- روش های جداسازی بتن	۴
۹۲.....	۴-۲-۵- آماده سازی سطح	۴
۹۲.....	۴-۳-۵- آماده سازی میلگردها	۴
۹۲.....	۴-۴-۵- وصله کاری سطح	۴
۹۲.....	۴-۵-۵- تعمیر پوشش بتنی روی میلگردها	۴

فصل پنجم: آزمایش های تعیین چسبندگی لایه تعمیری به بتن بستر

۵-۱- مقدمه ۹۵
۵-۲- روش اسلنت شیر ۹۵
۵-۳- روش کشیدن از سطح ۹۶
۵-۴- روش پیچش ۹۸
۵-۴-۱- مواد و تجهیزات لازم ۹۹
۵-۴-۲- نحوه انجام آزمایش پیچش ۱۰۰
۵-۵- روش انتقال اصطکاک ۱۰۱

فصل ششم: مقدمه ای بر منطق فازی

۶-۱- مقدمه ۱۰۴
۶-۲- سیستم استنتاج فازی ۱۰۵
۶-۳- عملگرهای استلزم فازی ۱۰۵
۶-۴- مراحل ساختن یک سیستم استنتاج فازی ۱۰۶
۶-۵- علل استفاده از منطق فازی ۱۰۶

فصل هفتم: مراحل انجام آزمایش ها

۷-۱- مقدمه ۱۰۹
۷-۲- بریدن مکعب های $15*15*15$ سانتی متر توسط اره الماسه و تبدیل آنها به قطعات $5*15*15$ سانتی متر به عنوان بتن بستر ۱۱۰
۷-۳- آماده سازی بتن های بستر ۱۱۱
۷-۴- ساخت بتن ها و ملات های خود متراکم ۱۱۱
۷-۵- انجام آزمایش های بتن تازه خود متراکم ۱۱۳
۷-۶- اجرای لایه ترمیمی ۱۱۵
۷-۷- عمل آوری نمونه های ترکیبی ۱۱۶
۷-۸- مغزه گیری ۱۱۷
۷-۹- انجام آزمایش های پیچش (با و بدون مغزه) و انتقال اصطکاک بر روی نمونه ها و قرائت نتایج ۱۱۸

فصل هشتم: نتایج و تحلیل نتایج

۱-۸- طرح اختلاط ها و آزمایش های بتن خود متراکم تازه	۱۲۵
۲-۸- نتایج آزمایش های پیچش و انتقال اصطکاک و پیچش بدون مغزه	۱۲۶
۳-۸- درصد شکست ها.....	۱۴۴
۴-۸- تحلیل آماری	۱۴۶
۴-۴-۸- تحلیل آماری تعیین مقاومت در جای لایه تعمیری با استفاده از روش پیچش	۱۴۶
۴-۴-۸- تحلیل آماری تعیین چسبندگی لایه تعمیری با استفاده از روش های پیچش و انتقال اصطکاک	۱۴۸
۵-۸- ارتباط بین نتایج حاصل از روش پیچش و انتقال اصطکاک برای تعیین چسبندگی	۱۵۰
۶-۸- پیش بینی نتایج با استفاده از منطق فازی	۱۵۱
۶-۸-۱- پیش بینی نتایج مقاومت در جای لایه تعمیری حاصل از روش پیچش با استفاده از منطق فازی	۱۵۱
۶-۸-۱- پیش بینی نتایج چسبندگی حاصل از روش های پیچش و انتقال اصطکاک با استفاده از منطق فازی	۱۵۴
۷-۸- خطاهای در تحلیل رگرسیون خطی و مدل فازی	۱۵۹
۸-۸- مقایسه نتایج حاصل از مدل فازی و رگرسیون خطی	۱۶۵
۹-۸- مدل اجزاء محدود تعیین چسبندگی با استفاده از روش انتقال اصطکاک	۱۶۶
۱۰-۸- نتایج	۱۷۰
پیشنهادات برای ادامه کار	۱۷۲
منابع	۱۷۳

فهرست تصاویر

شکل های فصل دوم

۶.....	شکل(۱-۲)
۷.....	شکل(۲-۲)
۷.....	شکل(۳-۲)
۹.....	شکل(۴-۲)
۹.....	شکل(۵-۲)
۱۱.....	شکل(۶-۲)
۱۲.....	شکل(۷-۲)
۱۲.....	شکل(۸-۲)
۱۳.....	شکل(۹-۲)
۱۴.....	شکل(۱۰-۲)
۱۴.....	شکل(۱۱-۲)
۱۵.....	شکل(۱۲-۲)
۱۶.....	شکل(۱۳-۲)
۱۶.....	شکل(۱۴-۲)
۱۷.....	شکل(۱۵-۲)
۱۸.....	شکل(۱۶-۲)
۱۸.....	شکل(۱۷-۲)
۱۸.....	شکل(۱۸-۲)
۲۲.....	شکل(۱۹-۲)
۲۲.....	شکل(۲۰-۲)
۲۴.....	شکل(۲۱-۲)
۲۶.....	شکل(۲۲-۲)
۲۷.....	شکل(۲۳-۲)
۲۷.....	شکل(۲۴-۲)

٢٩.....	شكل (٢٥-٢)
٢٩.....	شكل (٢٦-٢)
٢٩.....	شكل (٢٧-٢)
٣١.....	شكل (٢٨-٢)
٣٢.....	شكل (٢٩-٢)
٣٣.....	شكل (٣٠-٢)
٣٥.....	شكل (٣١-٢)
٣٦.....	شكل (٣٢-٢)
٤١.....	شكل (٣٣-٢)
٤٢.....	شكل (٣٤-٢)
٤٣.....	شكل (٣٥-٢)
٤٣.....	شكل (٣٦-٢)
٤٥.....	شكل (٣٧-٢)
٤٦.....	شكل (٣٨-٢)
٤٧.....	شكل (٣٩-٢)
٤٩.....	شكل (٤٠-٢)
٤٩.....	شكل (٤١-٢)
٤٩.....	شكل (٤٢-٢)
٥٠.....	شكل (٤٣-٢)
٥١.....	شكل (٤٤-٢)
٥٣.....	شكل (٤٥-٢)
٥٤.....	شكل (٤٦-٢)
٥٥.....	شكل (٤٧-٢)
٥٦.....	شكل (٤٨-٢)
٥٧.....	شكل (٤٩-٢)
٥٨.....	شكل (٥٠-٢)
٥٩.....	شكل (٥١-٢)
٥٩.....	شكل (٥٢-٢)
٦٠.....	شكل (٥٣-٢)

٦١.....	شكل (٥٤-٢)
٦١.....	شكل (٥٥-٢)
٦٢.....	شكل (٥٦-٢)
٦٢.....	شكل (٥٧-٢)
٦٣.....	شكل (٥٨-٢)
٦٤.....	شكل (٥٩-٢)
٦٤.....	شكل (٦٠-٢)
٦٥.....	شكل (٦١-٢)
٦٥.....	شكل (٦٢-٢)
٦٦.....	شكل (٦٣-٢)
٦٦.....	شكل (٦٤-٢)
٦٧.....	شكل (٦٥-٢)

شکل های فصل سوم

٧٠	شكل (١-٣)
٧٣	شكل (٢-٣)
٧٥	شكل (٣-٣)
٧٧	شكل (٤-٣)
٧٩	شكل (٥-٣)
٨١	شكل (٦-٣)

شکل های فصل چهارم

٨٥..... شکل (۱-۴)

شکل های فصل پنجم

٩٥.....	شكل (١-٥)
٩٦.....	شكل (٢-٥)
٩٦.....	شكل (٣-٥)
٩٧.....	شكل (٤-٥)
٩٨.....	شكل (٥-٥)

۹۹.....	شکل (۶-۵)
۹۹.....	شکل (۷-۵)
۱۰۰.....	شکل (۸-۵)
۱۰۱.....	شکل (۹-۵)
۱۰۱.....	شکل (۱۰-۵)
۱۰۱.....	شکل (۱۱-۵)
۱۰۲.....	شکل (۱۲-۵)

شکل های فصل ششم

۱۰۴.....	شکل (۱-۶)
----------	-----------

شکل های فصل هفتم

۱۱۰.....	شکل (۱-۷)
۱۱۰.....	شکل (۲-۷)
۱۱۰.....	شکل (۳-۷)
۱۱۱.....	شکل (۴-۷)
۱۱۲.....	شکل (۵-۷)
۱۱۲.....	شکل (۶-۷)
۱۱۲.....	شکل (۷-۷)
۱۱۳.....	شکل (۸-۷)
۱۱۳.....	شکل (۹-۷)
۱۱۴.....	شکل (۱۰-۷)
۱۱۴.....	شکل (۱۱-۷)
۱۱۴.....	شکل (۱۲-۷)
۱۱۵.....	شکل (۱۳-۷)
۱۱۵.....	شکل (۱۴-۷)
۱۱۵.....	شکل (۱۵-۷)
۱۱۶.....	شکل (۱۶-۷)
۱۱۶.....	شکل (۱۷-۷)
۱۱۷.....	شکل (۱۸-۷)

۱۱۷.....	شکل (۱۹-۷)
۱۱۸.....	شکل (۲۰-۷)
۱۱۸.....	شکل (۲۱-۷)
۱۱۹.....	شکل (۲۲-۷)
۱۱۹.....	شکل (۲۳-۷)
۱۲۰.....	شکل (۲۴-۷)
۱۲۰.....	شکل (۲۵-۷)
۱۲۰.....	شکل (۲۶-۷)
۱۲۱.....	شکل (۲۷-۷)
۱۲۱.....	شکل (۲۸-۷)
۱۲۱.....	شکل (۲۹-۷)
۱۲۱.....	شکل (۳۰-۷)
۱۲۲.....	شکل (۳۱-۷)
۱۲۲.....	شکل (۳۲-۷)
۱۲۲.....	شکل (۳۳-۷)

شکل های فصل هشتم

۱۴۲.....	شکل (۱-۸)
۱۴۲.....	شکل (۲-۸)
۱۴۳.....	شکل (۳-۸)
۱۴۳.....	شکل (۴-۸)
۱۴۴.....	شکل (۵-۸)
۱۴۴.....	شکل (۶-۸)
۱۴۵.....	شکل (۷-۸)
۱۴۵.....	شکل (۸-۸)
۱۴۵.....	شکل (۹-۸)
۱۴۶.....	شکل (۱۰-۸)
۱۴۸.....	شکل (۱۱-۸)
۱۵۰.....	شکل (۱۲-۸)
۱۵۱.....	شکل (۱۳-۸)

١٥١.....	شكل (١٤-٨)
١٥٢.....	شكل (١٥-٨)
١٥٢.....	شكل (١٦-٨)
١٥٢.....	شكل (١٧-٨)
١٥٣.....	شكل (١٨-٨)
١٥٣.....	شكل (١٩-٨)
١٥٤.....	شكل (٢٠-٨)
١٥٥.....	شكل (٢١-٨)
١٥٥.....	شكل (٢٢-٨)
١٥٥.....	شكل (٢٣-٨)
١٥٦.....	شكل (٢٤-٨)
١٥٦.....	شكل (٢٥-٨)
١٥٦.....	شكل (٢٦-٨)
١٥٧.....	شكل (٢٧-٨)
١٥٧.....	شكل (٢٨-٨)
١٥٨.....	شكل (٢٩-٨)
١٥٨.....	شكل (٣٠-٨)
١٦٥.....	شكل (٣١-٨)
١٦٥.....	شكل (٣٢-٨)
١٦٧.....	شكل (٣٣-٨)
١٦٧.....	شكل (٣٤-٨)
١٦٨.....	شكل (٣٥-٨)
١٦٨.....	شكل (٣٦-٨)
١٦٩.....	شكل (٣٧-٨)



فصل

پیشگفتار

SCC مخفف self – compacting concrete به معنای بتن خود متراکم است. این عبارت، امید بخش ترین ابداع جدید در صنعت بتن در ۲۰ سال گذشته می باشد. در مقایسه با بتن سنتی، SCC نیازی به ویبره ندارد. بنابراین می توان از تعداد کارگرها کاست و در نتیجه باعث افزایش سود و بهتر شدن محیط کار خواهد شد [۲۹].

بتن خود متراکم نخست در سال ۱۹۸۶ توسط اوکامورا^۱ در ژاپن پیشنهاد گردید و در سال ۱۹۸۸ در کارگاه ساخته شد و نتایج قابل قبولی را از نظر خواص فیزیکی و مکانیکی بتن ارائه داد [۳۹ و ۲۴]. امروزه بتن خود متراکم همزمان با کشور ژاپن در مراکز دانشگاهی و تحقیقاتی کشورهای اروپائی، کانادا و آمریکا موضوع بحث، بررسی و اجرای سازه های بتنی است [۱۰].

بزرگترین تفاوت میان بتن سنتی و SCC، روانی بتن در حالت تازه می باشد. واضح است که اندازه گیری اسلامپ در مورد SCC، هیچ فایده ای ندارد و جریان اسلامپ برای مشخص کردن روانی SCC مورد استفاده قرار می گیرد. برای تشریح کامل ویژگی های جریانی SCC، ویسکوزیته پلاستیک نیز باید مشخص شود. دیگر ویژگی های مهم بتن از قبیل مقاومت، سختی، دوام و ... برای SCC نیز مشابه بتن سنتی تعیین می شود [۲۹].

ویژگی های جریانی SCC باعث می شود که بتوان این بتن را در فضاهای محدود و نیز فضاهای دارای آرماتورهای زیاد، بدون هیچ گونه ویبره ای ریخت. SCC می تواند قالب های با هندسه پیچیده را که دسترسی به آن ها برای ویبراتور میله ای (قلمی) سخت است به طور کامل پر کند.

با استفاده از SCC انتظار داریم که خطاهای بتن ریزی از قبیل حفره های کندوبی را کاهش داده و بتن با سطح بهتری ایجاد نماییم. SCC همچنین برای پمپ شدن داخل قالب های غیرقابل دسترس مناسب است [۳۰].

به طور کلی مزیت های استفاده از بتن خود متراکم عبارتند از:

- (۱) بتن ریزی سریعتر بدون نیاز به ویبره و در نتیجه کاهش هزینه بتن ریزی
- (۲) سطح تمام شده یکنواخت و زیبای اعضای بتنی (از نظر معماری)
- (۳) پر کردن بهتر فضاهای تنگ و دور از دسترس و امکان طراحی مقاطع متنوع تر سازه ای
- (۴) تحکیم بالاتر بتن در اطراف آرماتورها و لذا چسبندگی بهتر بتن و آرماتور
- (۵) بهبود یافتن قابلیت پمپ کردن بتن
- (۶) نیاز به نیروی انسانی کمتر
- (۷) دوره ساخت کوتاه تر و در نتیجه صرفه جویی در هزینه نهایی
- (۸) سرعت بخشیدن به کار میکسر و ارائه سریعتر خدمات توسط تولید کنندگان بتن آماده

^۱ Okamura

(۹) کاهش سروصدای در کارگاه و لذامکان افزایش ساعت کاری در مناطق شهری

(۱۰) افزایش اینمی کار با حذف نیاز به ویره [۳۴].

عیب بتن خود متراکم، گرانتر تمام شدن طرح اختلاط و اجزای مخلوط به دلیل استفاده از فوق روان کننده ها و مواد افزودنی است. ولی عدم نیاز به ویره و نیز کاهش تعداد کارگران و زمان ساخت و ساز، پارامترهایی هستند که این افزایش هزینه را جبران می کنند. در پروژه های با بتون ریزی حجیم، استفاده از بتون خود متراکم، طرح را کاملاً به سمت اقتصادی شدن سوق می دهد [۲۸].

با اینکه تعمیر و مرمت سازه های بتونی با ملات و بتون سیمان پرتلندی از دیرباز رایج بوده است، ولی بررسی منابع موجود یانگر آن است که توجه تخصصی و سیستماتیک به آسیب شناسی و بهسازی این نوع سازه ها تنها به حدود دو دهه گذشته برمی گردد، که به خاطر آسیب های جدی واردہ به سازه های بتونی، به دلیل خوردگی آرمه موجود (که نمونه های بسیار زیاد آن در حاشیه خلیج فارس مشاهده گردیده است)، کربناسیون بتون (که بیشتر از معضلات محیط های صنعتی و آلوده می باشد)، اندر کنش قلیایی - سیلیکا (که به استفاده از سنگدانه های نا مناسب در شرایط رطوبتی و دمایی خاص مربوط می گردد) و حملات سولفات ها (در زمین ها و مناطق دارای املاح سولفاتی) بوده است [۱۸ و ۱۹ و ۲۰ و ۲۱ و ۲۵ و ۲۷]. از این رو، گستردگی خرابی های واردہ باعث گردیده است تا دست اندر کاران صنعت بتون، اقدامات قابل توجهی را در خصوص روش شدن علل و نحوه شکل گیری آسیب های واردہ، تولید مواد و روش های جدید تعمیر و مرمت و نحوه آزمایش مواد و روش ها به انجام رسانده اند [۱۴].

برای اطمینان از عملکرد مصالح مصرفی و روش های به کار گرفته شده، روش هایی ارایه گردیده است که تاکید آن ها بر تعیین مقاومت چسبندگی بین لایه تعمیری و بتون قدیم می باشد [۱۴].

اگرچه در زمینه صنعت تعمیرات بتونی، توسعه مواد جدید سیمانی و غیر سیمانی، و همچنین ظهور روش های جدید تعمیری دستی و ماشینی در سال های اخیر چشمگیر بوده است، ولی صرفنظر از نوع مصالح و روش های به کار گرفته شده، برای اینکه لایه تعمیری اعمال شده به بستر بتونی عملکرد مرکب قابل قبولی داشته باشد، باید در سطح تماس خود با سطح بتون، از چسبندگی لازم و کافی برای مقابله با تنش های به وجود آمده به هنگام بهره برداری، برخوردار باشد [۱۴].

بنابراین، اهمیت اطلاع از مقدار چسبندگی موجود بین لایه تعمیری و بتون قدیم، ایجاب می نماید تا روشی مناسب برای اندازه گیری دقیق و درجای آن انتخاب گردد [۱۴].

برحی تکنیک های تعمیر و یا مقاوم سازی سازه ها شامل اعمال بتون جدید به عنوان لایه تعمیری به بستر بتونی موجود می باشد [۳۱]. سطح بتون بستر در مقدار چسبندگی بتون جدید به بتون موجود تاثیر گذار

خواهد بود. تحقیقات متعددی در زمینه تاثیر زیری سطح بتن بستر بر میزان چسبندگی بتن به بتن انجام شده است [۴۱ و ۳۷ و ۲۶ و ۳۸].

در این پایان نامه سه طرح اختلاط بتن خود متراکم و سه طرح اختلاط ملات خود متراکم به عنوان لایه ترمیمی به کار گرفته شده است.

از بتن های معمولی با ابعاد $15*15*5$ و با سطحی صاف به عنوان بتن پایه برای لایه های ترمیمی استفاده شده است.

این بتن های پایه در ۵ حالت خشک با سطح خشک، خشک با سطح دوغابی، اشباع با سطح خشک، اشباع با سطح خیس و اشباع با سطح دوغابی آماده شده اند.

پس از ریختن لایه ترمیمی بر روی این بتن ها و عمل آوری آنها حالت عمل آوری در گونی و پلاستیک با استفاده از روش های پیچش و انتقال اصطکاک به بررسی چسبندگی این لایه ها به بستر بتنی خود در سن ۲۸ روزه پرداخته شده است. همچنین مقاومت درجای بتن و ملات های ترمیمی با استفاده از روش پیچش (بدون مغزه گیری) تعیین شده است.

در نهایت با استفاده از تحلیل آماری (رگرسیون خطی) به کمک نرم افزار SPSS درجه اهمیت هر پارامتر تعیین و فرمولی برای تعیین لنگر پیچشی به دست آمده از روش های پیچش و انتقال اصطکاک برای تعیین چسبندگی دو لایه با توجه به پارامترهای تاثیر گذار ارائه شده است. از تحلیل آماری (رگرسیون خطی) برای تعیین مقاومت درجای بتن و ملات تعییری حاصل از روش پیچش و درجه اهمیت عوامل مؤثر نیز استفاده شده است. همچنین مقدار تنفس برشی در سطح چسبندگی در روش انتقال اصطکاک و پیچش با استفاده از روش اجزاء محدود در نرم افزار ABAQUS [۳ و ۴] تعیین گردیده است. به کمک منطق فازی و با استفاده از نرم افزار MATLAB نیز نتایج آزمایش ها پیش بینی شده و با نتایج حاصل از آزمایش ها و رگرسیون خطی مقایسه شده است. در انتها به کمک نرم افزار SPSS و با استفاده از شبکه های عصبی به دو روش پرسپترون چند لایه و تابع شعاع مدار نتایج حاصل از آزمایش ها پیش بینی شد.



فصل

بَنْ خُودِ مُتَرَاكِمٍ

۱-۲- مقدمه

برای بحث در مورد بتن خود متراکم باید هم درباره طرح اختلاط و هم درباره اجرا و نکات اجرایی آن گفت. برای رسیدن به یک طرح اختلاط مناسب، باید ویژگی های جریانی و مصالح مورد استفاده در بتن خود متراکم را مورد بررسی قرار داد. لذا در این فصل ابتدا به شناخت ویژگی های جریانی، مصالح مورد استفاده و تاثیر هر مصالح روی ویژگی های جریانی بتن خود متراکم پرداخته خواهد شد و سپس به اجرای این نوع بتن اشاره خواهد شد.

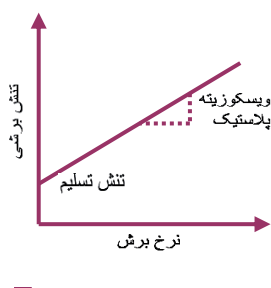
۲- ویژگی های جریانی بتن خود متراکم، مصالح مورد استفاده و تاثیر هر مصالح روی ویژگی های جریانی

۱-۲-۲- مقدمه

به طور سنتی جریان اسلامپ برای توضیح ویژگی های جریانی SCC به کار می رود. اما مشخص شده است که برای توضیح کامل ویژگی های جریانی SCC، دو پارامتر دیگر نیز مورد نیاز است. بنابراین ویژگی های جریانی SCC به صورت زیر توصیف می شود:

- تنش تسلیم σ_0 که جریان پذیری بتن را نشان می دهد به این معنی است که تا چه فاصله ای بتن می تواند جریان یابد. تنش تسلیم ارتباط نزدیکی با جریان اسلامپ دارد. تنش تسلیم زیاد باعث جریان اسلامپ کم می شود و بر عکس.

- ویسکوزیته پلاستیک η_{pl} غلظت بتن را نشان می دهد. ویسکوزیته زیاد به معنی SCC چسبناک است که به سختی حرکت می کند (ضخیم بوده و به آهستگی جریان می یابد). بر عکس، ویسکوزیته کم به معنی SCC ای است که به سرعت جریان می یابد و کار کردن با آن آسان است [۲۹]. مصالحی که ویژگی های جریانی آن ها به وسیله تنش تسلیم و ویسکوزیته پلاستیک قابل توصیف است، مصالح بینگام نامیده می شوند. اهمیت دو پارامتر مذکور، در شکل (۱-۲) نشان داده شده است:



شکل (۱-۲) - منحنی جریان برای مصالح بینگام مانند SCC [۲۹]

$$\tau = \tau_0 + \eta_{PL} \cdot \gamma$$

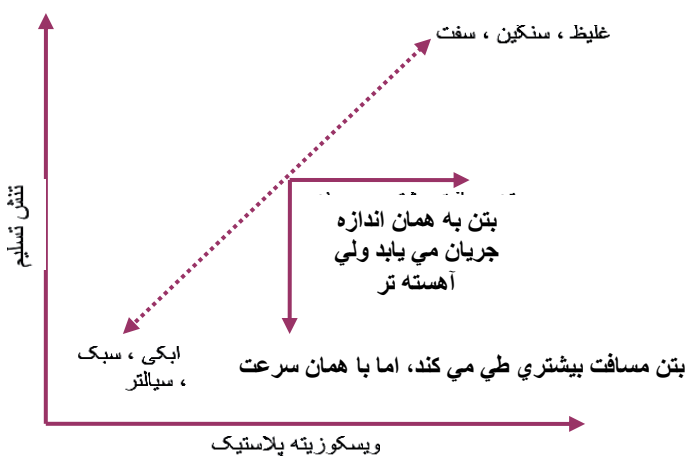
τ = تنش برشی

τ_0 = تنش تسليم

η_{PL} = ويڪوزيٽه پلاستيک

γ = نرخ برش

کسانی که با SCC سرو کار دارند مشاهده نموده اند که ممکن است دو بتن دارای جريان اسلامپ^۱ مشابه باشند ولی یکی ويڪوزيٽه کم و دیگری ويڪوزيٽه زیادی داشته باشد که اولی به کندی و سختی و دومی به راحتی جريان می یابد. اين دو بتن، مسافت يکسانی را طی می کنند ولی سرعت جريان متفاوت است. اثرات تغيير ويژگی های رئولوژيکی بتن در چگونه دیده شدن آن در شكل (۲-۲) نشان داده شده است.

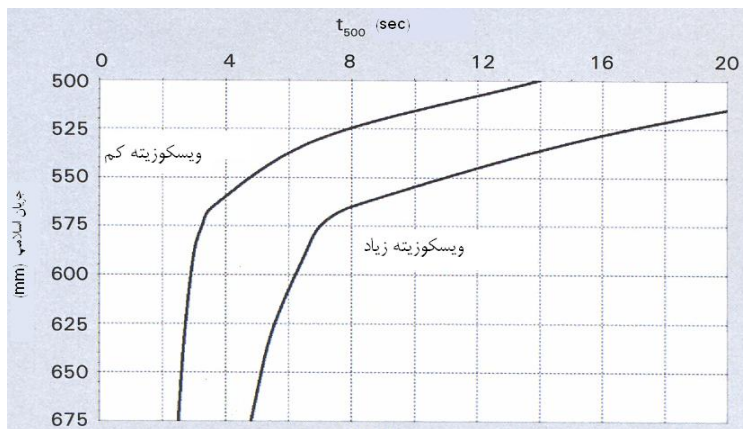


شكل (۲-۲) - اثر پارامتر های رئولوژيکی روی اينکه بتن چگونه جريان می یابد و توسط سازنده بتن چطور دیده می شود [۲۹].

۲-۲-۲- اندازه گيري ويژگي هاي جرياني

مي توان جريان اسلامپ را با زمان اندازه گيري شده به ثانيه برای اينکه بتن در آزمایش جريان اسلامپ جريان یابد تا به ۵۰۰ ميلی متر برسد (t_{500}) ارتباط داد. جريان سريع، معادل ويڪوزيٽه کم می باشد و برعکس. می توان از آزمایش جريان اسلامپ و t_{500} برای تعیین پارامتر های رئولوژيکی بتن خودمتراکم استفاده نمود [۲۹] (شکل ۳-۲).

^۲ Slump Flow



شکل (۳-۲)- وابستگی t_{500} به جریان اسلامپ و مقدار ویسکوزیته [۲۹]

۳-۲-۲- ترکیب مدل ماده - SCC

برای پیش بینی اینکه تغییرات در ترکیب بتن چگونه روی کارایی آن اثر می گذارد، بسیار مفید خواهد بود اگر یک مدل ماده بر پایه اصول فیزیکی / شیمیایی داشته باشیم تا این که فقط بر اساس تجربه صرف قضاوت کنیم. این چنین مدل ماده ای در زیر نشان داده شده است. این مدل ماده در ژاپن توسط F.Tomasawa,S.G.oh,T.Noguchi مشاهده شده در ویژگی های رئولوژیکی SCC ناشی از تغییرات در ترکیب مصالح را توضیح دهد. این مدل به دو فرم زیر، دو پارامتر رئولوژیکی را بیان می کند؛ ویسکوزیته پلاستیک و تنش تسلیم:

$$\eta_{PL} = \eta_{Paste} \cdot (a_\eta \cdot \Gamma^{-b_\eta} + 1) \quad (1-2)$$

$$\tau_0 = \tau_{0,Paste} \cdot (a_\tau \cdot \Gamma^{-b_\tau} + 1) \quad (2-2)$$

η_{PL} : ویسکوزیته پلاستیک بتن

η_{Paste} : ویسکوزیته پلاستیک بخش خمیری بتن

τ_0 : تنش تسلیم بتن

$\tau_{0,Paste}$: تنش تسلیم بخش خمیری بتن

Γ : ضخامت نسبی لایه خمیری دور سنگدانه ها

$a_\eta, a_\tau, b_\eta, b_\tau$: اعداد ثابت (با توجه به امکانات ساخت تعریف می شوند)

ویژگی های جریانی بتن به مقدار زیادی بستگی مستقیم به تنش تسلیم و ویسکوزیته پلاستیک خمیره دارد. هنگامی که Γ افزایش می یابد (ضخامت خمیره دور سنگدانه افزایش می یابد)، عبارات داخل